

پژوهش در پزشکی (مجله پژوهشی دانشکده پزشکی)  
دانشگاه علوم پزشکی و خدمات بهداشتی درمانی شهید بهشتی  
سال ۲۷، شماره ۲، صفحات ۱۰۳ تا ۱۱۱ (تابستان ۸۲)

## تفاوت‌های ناحیه ای در نقش جریان یونی $I_f$ در تولید پتانسیل‌های پیس میکری سلول‌های گره سینوسی - دهلیزی دست نخورده و سالم قلب خرگوش

دکتر محمد رضا نیکمرام<sup>۱</sup>، دکتر مارک ریچارد بویت<sup>۲</sup>

<sup>۱</sup> استادیار، گروه فیزیولوژی، دانشگاه علوم پزشکی ایران  
<sup>۲</sup> دپارتمان فیزیولوژی، دانشگاه لیدز، انگلستان

### چکیده

**سابقه و هدف:** گره سینوسی - دهلیزی قلب پستانداران از نقطه نظر بافتی و ویژگی الکتروفیزیولوژیکی یکنواخت نیست. تفاوت‌های ناحیه ای در شکل مختصات پتانسیل عمل بخوبی شناخته شده است. یکی از دلایل احتمالی تفاوت در شکل مختصات پتانسیل عمل تفاوت در وجود جریان‌های یونی در این نواحی متفاوت است. در این راستا تصور بر این است که جریان یونی  $I_f$  در ایجاد شیب پیس میکری پتانسیل عمل گره سینوسی - دهلیزی ایفای نقش می کند.

**مواد و روش‌ها:** در بررسی حاضر این فرضیه با مسدود کردن جریان مذکور مورد ارزیابی قرار گرفت. ابتدا از نواحی مختلف گره سینوسی - دهلیزی سالم و دست نخورده ثبت فعالیت‌های داخل سلولی پتانسیل عمل به عنوان کنترل و بدون مصرف سزیم توسط میکرو الکتروود شیشه ای انجام شد و فاکتورهای ۹ گانه مختصات پتانسیل عمل اندازه گیری گردید. سپس به مدت ۲۰ دقیقه از ۲ میلی مولار سزیم جهت مسدود کردن جریان یونی  $I_f$  استفاده شد و مجدداً فاکتورهای مذکور اندازه گیری شد.

**یافته‌ها:** سزیم به طور معنی داری ( $p < 0.05$ ) موجب کاهش شیب پیس میکری از  $1 \pm 20$  به  $1 \pm 4$  میلی ولت بر ثانیه در ناحیه محیطی، از  $4 \pm 32$  به  $2 \pm 17$  میلی ولت بر ثانیه در ناحیه بینابینی و از  $3 \pm 49$  به  $4 \pm 36$  میلی ولت بر ثانیه در ناحیه مرکزی گره سینوسی - دهلیزی گردید. همچنین سزیم در ۲۱ نمونه موجب کاهش فعالیت خودبخودی پتانسیل عمل در مقایسه با حالت کنترل شد. سزیم بر سایر فاکتورها تاثیر معنی داری نداشته است.

**نتیجه گیری و توصیه‌ها:** نتایج به دست آمده نشان می دهد میزان جریان یونی  $I_f$  در نواحی مختلف گره سینوسی - دهلیزی یکسان نبوده و در ناحیه محیطی بیشتر از ناحیه مرکزی است.

**واژگان کلیدی:** گره سینوسی - دهلیزی، جریان یونی  $I_f$

### مقدمه

بافتی ناهمگن است (۵-۱). در خرگوش جایگاه پیس میکری رهبری کننده اصلی (Leading Pacemaker Site) در

گره سینوسی - دهلیزی قلب پستانداران (از جمله خرگوش) از نقطه نظر بافت شناسی و الکتروفیزیولوژی

جریان مذکور وجود ندارد (۵،۲۲،۲۳). Kreitner پیشنهاد کرد ممکن است نقش جریان یونی  $I_f$  در نواحی مختلف گره سینوسی - دهلیزی متفاوت باشد.

در بررسی حاضر اثر ۲ میلی مولار سزیم (که بعنوان ماده مسدود کننده جریان یونی  $I_f$  شناخته شده است) در نمونه هایی از گره سینوسی - دهلیزی سالم و دست نخورده قلب خرگوش مورد استفاده قرار گرفت. براساس نتایج بدست آمده نقش ناحیه ای جریان یونی  $I_f$  در فعالیت پیس میکری گره سینوسی - دهلیزی سالم و دست نخورده قلب خرگوش مورد بحث قرار گرفت.

### مواد و روشها

خرگوشهای نیوزیلندی از هر دو جنس باوزن ۱/۵ تا ۲ کیلوگرم انتخاب شدند. پس از اینکه خرگوشها با سدیم پنتوبارتیتال (۹۰-۴۰ میلی گرم در ازاء هرکیلوگرم وزن) بیهوش گردیدند، سینه و پریکاردیوم آنها فوراً شکافته شده و قلب در حال تپش سریعاً در محلول Tyrode (اکسیژنه شده) در درجه حرارت اتاق (۲۲ درجه سانتی گراد) قرار داده شد. پس از شستن خونها و جداکردن بافتهای چربی، پیوندی، ماهیچه بطنی و دهلیز چپ، دهلیز راست به تنهایی باقی ماند که آن را با فیچی مخصوص باز کرده تا سطح داخلی یا اندوتلیومی دهلیز راست در معرض دید قرار گیرد. در این مرحله با ظرافت تمام قطعات دهلیز راست را در زیر میکروسکوپ نوری با فیچی مخصوص جدا کرده تا زمانی که گره سینوسی - دهلیزی و اطراف آن با ابعادی در حدود  $15 \times 15$  میلی متر باقی ماند. از اینجا به بعد قطعه تهیه شده به اتاقک آلومینیومی ثبت فعالیتهای الکتریکی منتقل و در درون ظرف شیشه ای یا حمام بافتی (tissue bath) فیکس شده و دائماً توسط محلول Tyrode (۴/۴ میلی لیتر در دقیقه) در درجه حرارت ۳۲ سانتی گراد تغذیه می گردید. از آنجاکه عمل ثبت فعالیت های الکتریکی به مدت طولانی (بیش از ۱۰ ساعت) صورت می گرفت و لازم بود که شرایط پایداری وجود داشته باشد، براساس تجربیات قبلی درجه حرارت ۳۲ درجه بر درجه حرارت ۳۷ درجه ترجیح داده شد (۲۵). به منظور ایجاد pH مناسب (۷/۴) محلول مذکور با ۹۵ درصد  $O_2$  و

فاصله ای در حدود ۲-۵/ میلی متر از مرز گره سینوسی - دهلیزی با ماهیچه دهلیزی قرار دارد (۶،۷). ناحیه مرکزی توسط ناحیه محیطی گره سینوسی - دهلیزی از ماهیچه دهلیزی جدا شده است. خاصیت پیس میکری در هر دو ناحیه مرکزی و محیطی گره سینوسی - دهلیزی مهم است ولی در شرایط طبیعی ناحیه مرکزی جایگاه پیس میکری رهبری کننده و ناحیه محیطی هم به نوبه خود پتانسیل عمل را از ناحیه مرکزی به اطراف ماهیچه دهلیزی هدایت می کند. در شرایط غیر طبیعی جایگاه پیس میکری رهبری کننده از ناحیه مرکزی به ناحیه محیطی گره سینوسی - دهلیزی تغییر می نماید (۸-۱۱).

فعالیت پیس میکری در ناحیه مرکزی و ناحیه محیطی گره سینوسی - دهلیزی متفاوت می باشد. در ناحیه مرکزی پتانسیل قله<sup>۱</sup>، حداکثر پتانسیل دیاستولیک<sup>۲</sup> و جمع هر دو یعنی بلندی پتانسیل عمل<sup>۳</sup> کوتاهتر (یا به عبارتی مثبت تر) از ناحیه محیطی و همینطور آستانه تحریک<sup>۴</sup> و حداکثر سرعت بالا روندی<sup>۵</sup> در ناحیه مرکزی در مقایسه با ناحیه بینابینی و محیطی کمتر است. از طرفی شیب پیس میکری<sup>۶</sup> و زمان بین دیپولاریزه و هایپرپولاریزه شدن<sup>۷</sup> در ناحیه مرکزی بیشتر از ناحیه محیطی است (۷). گرچه مکانیسم هایی که موجب این تفاوتها در فعالیت های پیس میکری نواحی مختلف گره سینوسی - دهلیزی می شوند هنوز به درستی شناخته نشده اند ولی ممکن است تفاوت در تاثیر جریان هایپرپولاریزه کننده القایی از ماهیچه دهلیزی به گره سینوسی - دهلیزی (۱۴-۱۲) و یا وجود و یا عدم وجود جریانهای یونی متفاوت در نواحی مختلف گره سینوسی - دهلیزی در این خصوص دخیل باشند.

امروزه تاثیر جریان یونی  $I_f$  (hyperpolarization activated current) در فعالیت پیس میکری مشخص شده است (۲۱-۱۵)، اما توافق کلی در خصوص میزان نقش

<sup>1</sup> Overshoot (OS)

<sup>2</sup> Maximum diastolic potential (MDP)

<sup>3</sup> Action potential amplitude (APA)

<sup>4</sup> Take - off potential (TOP)

<sup>5</sup> Maximum upstroke velocity (MUV)

<sup>6</sup> Pace maker slope (PS)

<sup>7</sup> Action potential duration (APD)

حداکثر پتانسیل دیاستولیک: بیشترین پتانسیل منفی ثبت شده در اثنای دیاستول قلب می باشد.

بلندی پتانسیل عمل: حاصل جمع پتانسیلهای OS و MDP بدون در نظر گرفتن علامت پتانسیلهای می باشد. حداکثر سرعت بالاروندگی: مشتق ولتاژ (dv/dt) است که برحسب ولت بر ثانیه در اثنای پتانسیل عمل محاسبه می شود.

آستانه تحریک: پتانسیل غشاء در جایی است که فعالیت واقعی پتانسیل عمل گره رخ می دهد.

می توان آن را نقطه جهش پتانسیل عمل نیز نامید.

شیب پتانسیل پیس میکری: براساس فاز خطی پتانسیل پیس میکری از MDP تا TOP اندازه گیری می شود.

طول دوره<sup>۱۰</sup>: طول یک دوره پتانسیل عمل است که شامل زمان بین دو پتانسیل عمل می باشد که در قله های هر دو پتانسیل عمل اندازه گیری می شود.

زمان بین دو پتانسیل عمل اندازه گیری می شود. *Action potential duration*: زمان بین دیپولاریزه های پریولاریزه شدن است که در محل ۳۰- میلی ولت اندازه گیری می شود.

میزان فعالیت خود به خودی<sup>۱۱</sup>: میزان فعالیت خود بخودی گره در تولید پتانسیل عمل است که برحسب هرترز محاسبه شده و بطور خلاصه rate خوانده می شود.

به منظور درک بهتر فاکتورهای گفته شده نمودار شماره یک که از ناحیه مرزی گره سنوسی دهلیزی یکی از نمونه ها ثبت گردیده است ارائه می شود.

ثبت فعالیت‌های پتانسیلهای عمل در سه مرحله قبل (کنترل)، هنگام و بعد از استفاده از ۲ میلی مولار سزیم صورت گرفت. مدت استفاده از سزیم ۲۰ دقیقه بود.

میانگین و خطای معیار میانگینها محاسبه شد و از آزمون آماری paired t student test برای آنالیز داده ها استفاده شد.

۵ درصد CO<sub>2</sub> متعادل می شد. سپس محلول Tyrode توسط پمپ خاصی از حمام بافتی تخلیه می گردید. محلول Tyrode شامل ۹۳ میلی مول NaCl، ۲۰ میلی مول NaHCO<sub>3</sub>، یک میلی مول NaHPO<sub>4</sub>، ۵ میلی مول CaCl<sub>2</sub>، یک میلی مول MgSO<sub>4</sub>، ۲۰ میلی مول سدیم استات و ۱۰ میلی مول گلوکز به اضافه ۵ واحد انسولین است.

ابتدا به عنوان کنترل، ثبت فعالیت های الکتریکی گره سینوسی-دهلیزی از نواحی محیطی و مرکزی انجام گرفت و سپس نمونه در معرض ۲ میلی مولار سزیم قرار گرفته و مجدداً فعالیت های الکتریکی ثبت گردید. نوع ثبت داخل سلولی و توسط میکرو الکتروود شیشه ای<sup>۸</sup> صورت گرفت. میکروالکتروودها با ۳ مولار کلروپتاسیم پر شده و به تقویت کننده WP Amplifier مدل ۷۵۰ ساخت کشور آمریکا متصل شدند. مقاومت میکرو الکتروودها بین ۱۵ تا ۴۰ میکرو اهم بوده است. خروجی ها بر روی صفحه مانیتور کامپیوتر قابل مشاهده بود و در کامپیوتر ذخیره می گردید. دستگاه CED1401 که تبدیل کننده آنالوگ به دیجیتال می باشد، در مسیر قرار داده شد. از طرف دیگر فعالیت‌های الکتریکی بر روی کاغذ شطرنجی قلم ثبات نیز ثبت می شد.

پتانسیلهای عمل از نواحی محیطی، بینابینی و مرکزی گره سینوسی-دهلیزی ثبت گردیدند. فاصله جایگاه ثبتهای ستیغ انتهایی<sup>۹</sup> اگر صفر تا ۰/۱ میلی متر بود، ثبت پتانسیل عمل از ناحیه مرکزی، اگر ۰/۵-۰/۱ میلی متر بود ثبت پتانسیل عمل از ناحیه بینابینی و اگر ۲-۰/۵ میلی متر بود ثبت پتانسیل عمل از ناحیه محیطی تلقی گردید(۶).

فاصله جایگاه ثبتهای پتانسیل عمل از مرکز ستیغ انتهایی توسط یک pointer که بر روی یک میکرو منی پولیتور کالیبره شده قرار داشت اندازه گیری می شد. در هر پتانسیل عمل ثبت شده فاکتورهای زیر مورد اندازه گیری قرار می گرفت:

پتانسیل قله: منظور پتانسیل غشاء در قله پتانسیل عمل می باشد.

<sup>10</sup> Cycle length

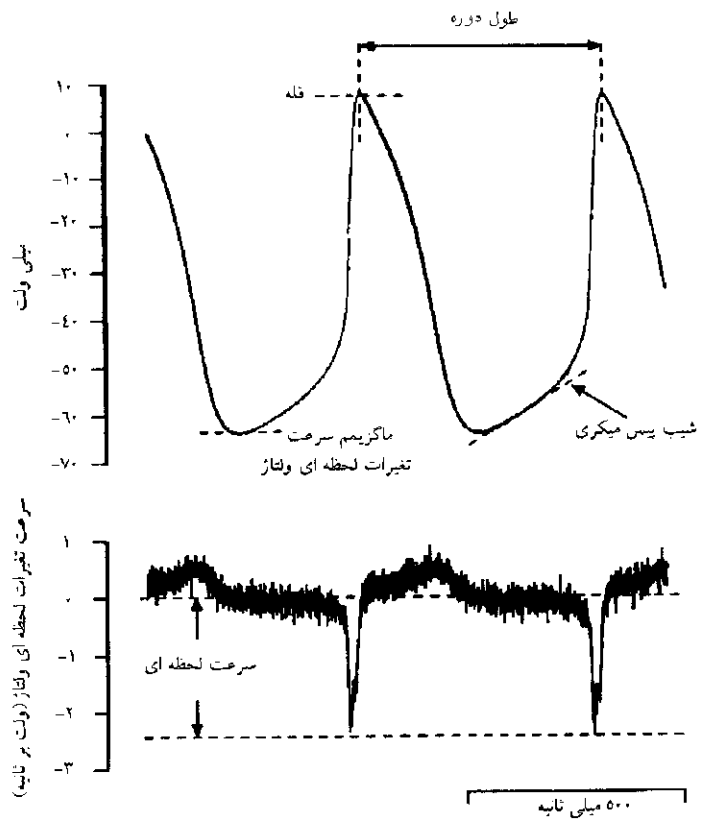
<sup>11</sup> Rate of spontaneous activity

<sup>8</sup> Conventional glass microelectrode

<sup>9</sup> Crista terminalis

کاهش در ناحیه محیطی به ۹۵ درصد و در ناحیه مرکزی به ۲۹ درصد رسیده است. این یافته ها به همراه سایر نتایج در ۲۱ نمونه، مورد تایید واقع شد و در نمودارهای شماره ۳ و ۴ خلاصه شده اند.

همانطور که مشاهده می شود سزیم بطور معنی داری ( $p < 0.05$ ) موجب کاهش شیب پیس میکری از  $20 \pm 1$  به  $4 \pm 1$  میلی ولت بر ثانیه ( $n=8$ ) در ناحیه محیطی، از  $32 \pm 4$  به  $17 \pm 2$  میلی ولت بر ثانیه ( $n=7$ ) در ناحیه بینابینی و از  $49 \pm 3$  به  $36 \pm 4$  میلی ولت بر ثانیه ( $n=6$ ) در ناحیه مرکزی گره سینوسی-دهلیزی شده است. این کاهشها به ترتیب مساوی  $83 \pm 7/5$ ،  $44 \pm 3$  و  $26 \pm 4$  درصد می باشند. ۲ میلی مولار سزیم در ۲۱ نمونه موجب کاهش فعالیت خودبخودی پتانسیل عمل (rate) به مقدار  $12 \pm 1$  درصد در مقایسه با حالت کنترل شد. به جای rate از طول دوره یا طول یک دور پتانسیل عمل استفاده شد که افزایشی معادل  $14 \pm 1$  درصد در مقایسه با حالت کنترل مشاهده شد.

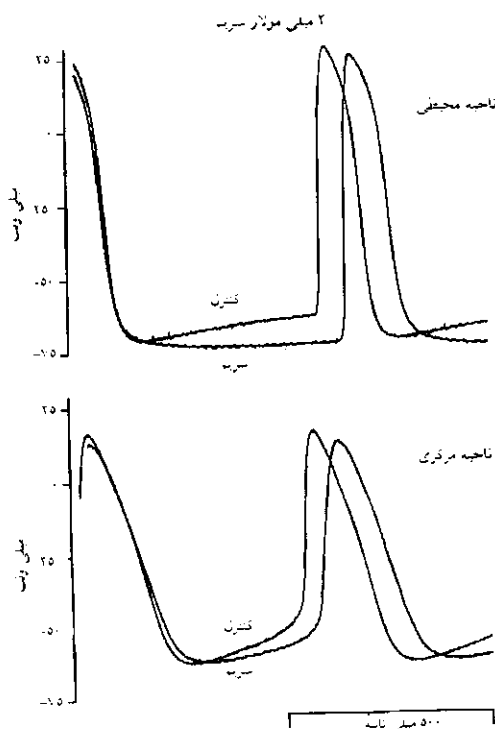


**نمودار ۱- فعالیت الکتریکی ثبت شده از ناحیه مرکزی گره سینوسی-دهلیزی دست نخورده و سالم، پتانسیل غشاء (بالا) و سرعت تغییرات لحظه ای ولتاژ (پایین) نشان داده شده است. پتانسیل قله، شیب پیس میکری، حداکثر سرعت بالاروندگی و طول دوره در نمودار نشان داده شده است**

### یافته ها

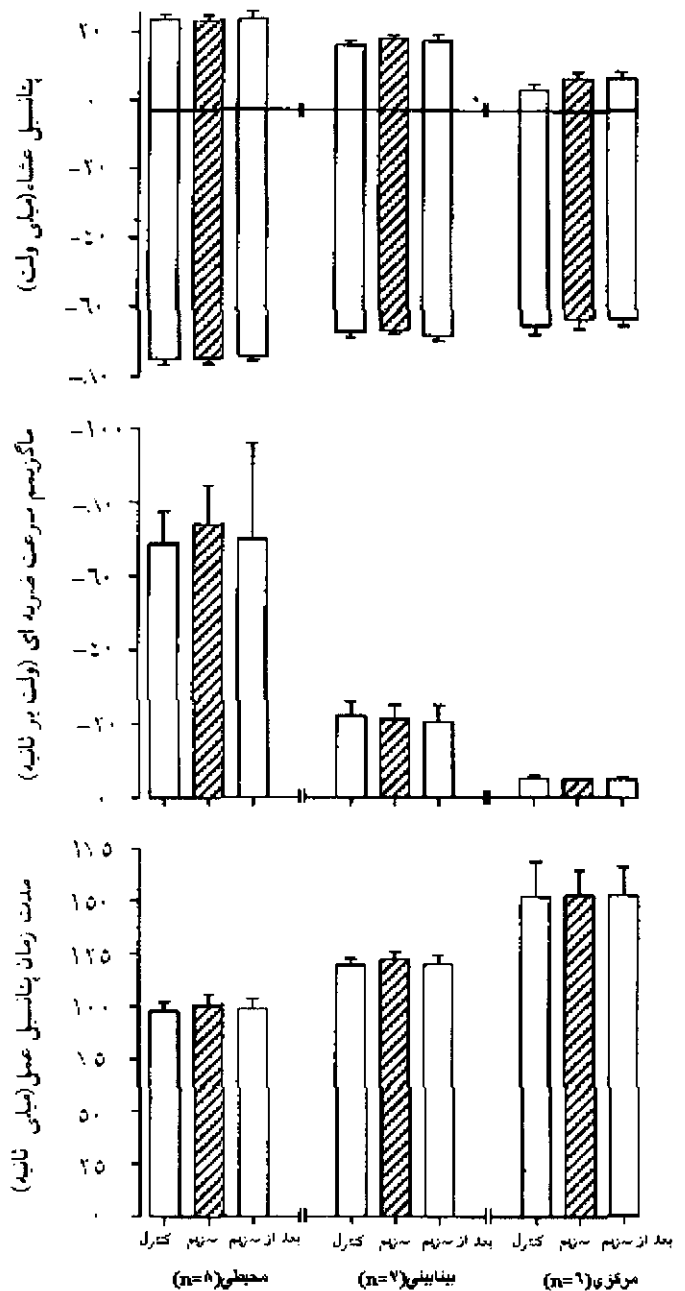
نمودار شماره ۲ نمونه ای از پتانسیلهای عمل ثبت شده از نواحی محیطی و مرکزی گره سینوسی-دهلیزی را قبل و هنگام استفاده از ۲ میلی مولار سزیم نشان می دهد. در ناحیه محیطی حداکثر سرعت بالاروندگی پتانسیل عمل، پتانسیل قله، حداکثر پتانسیل دیاستولیک، APA و TOP بزرگتر از ناحیه مرکزی بود در حالیکه شیب پیس میکری بزرگتر و APD در ناحیه مرکزی طولانی تر از ناحیه محیطی گره سینوسی-دهلیزی است. انتقال از پتانسیل پیس میکری به پتانسیل عمل در ناحیه محیطی تند ولی در ناحیه مرکزی ملایم است.

سزیم موجب کاهش شیب پیس میکری و میزان فعالیت خودبخودی یا rate می شود. در نمودار شماره ۲ این

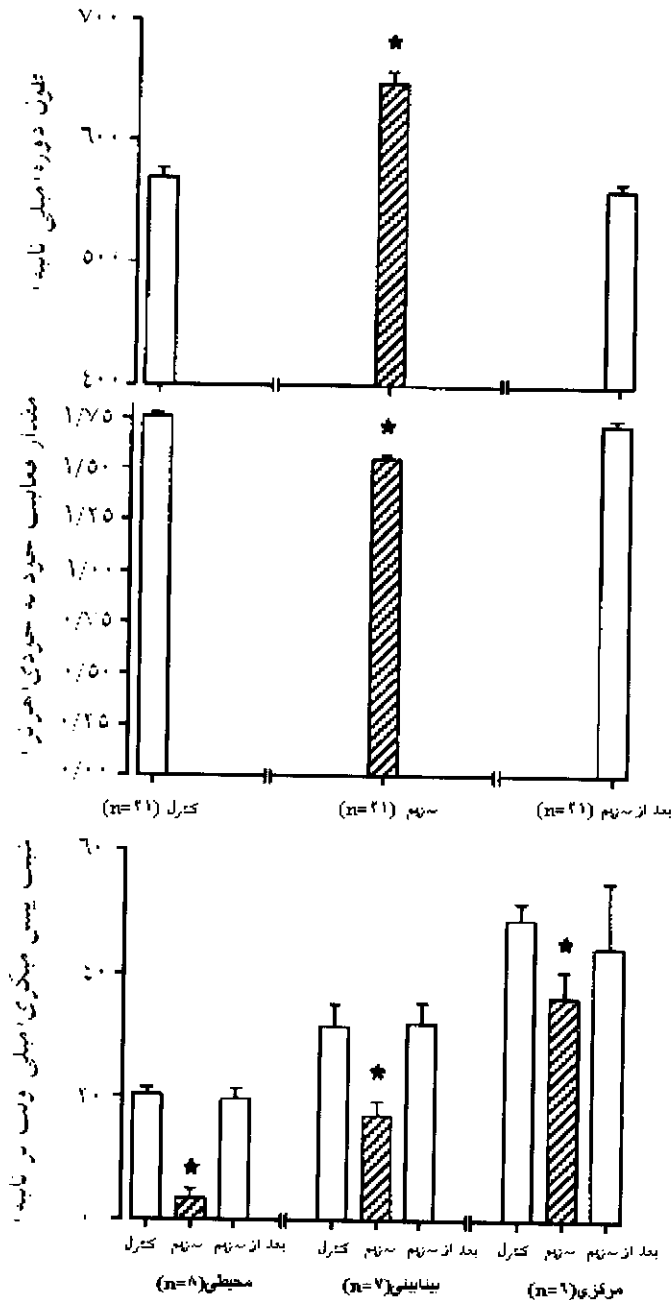


**نمودار ۲- اثر ۲ میلی مولار سزیم بر پتانسیل عمل سلولهای ناحیه محیطی و مرکزی گره سینوسی-دهلیزی دست نخورده و سالم. پتانسیلهای عمل در حضور سزیم و کنترل بر روی هم رسم گردیده اند.**

۲ میلی مولار سزیم



۲ میلی مولار سزیم



نمودار ۴- اثر ۲ میلی مولار سزیم بر فعالیت الکتریکی در نواحی محیطی، بینابینی، و مرکزی گره سینوسی-دهلیزی دست نخورده و سالم. طول یک دوره پتانسیل عمل (بالا)، فعالیت خود به خودی پتانسیل عمل (وسط) و شیب پیکس میکری قبل (هیستوگرام خالی)، حین بکارگیری (هیستوگرام هاشور خورده) و بعد از مصرف سزیم (هیستوگرام خالی) (پایین) نشان داده شده است. در هر مورد داده های ناحیه محیطی در طرف چپ، ناحیه بینابینی در وسط و ناحیه مرکزی در طرف راست آورده شده است.

نمودار ۳- اثر ۲ میلی مولار سزیم بر فعالیت الکتریکی در نواحی محیطی، بینابینی، و مرکزی گره سینوسی-دهلیزی دست نخورده و سالم. پتانسیل غشای سلول در قله و حداکثر پتانسیل دیاستولیک (بالا)، تغییرات سرعت لحظه ای ولتاژ (وسط) و زمان یک دوره پتانسیل عمل قبل (هیستوگرام خالی)، حین بکارگیری (هیستوگرام هاشور خورده) و بعد از مصرف سزیم (هیستوگرام خالی) (پایین) نشان داده شده است. در هر مورد داده های ناحیه محیطی در طرف چپ، ناحیه بینابینی در وسط و ناحیه مرکزی در طرف راست آورده شده است.

## بحث

**الف: تفاوت‌های ناحیه ای در شکل و مختصات پتانسیل عمل نواحی مختلف گره سینوسی - دهلیزی**

در مطالعات پیشین نشان داده شد (۷) شکل مختصات پتانسیل عمل وابسته به ناحیه ای<sup>۱۲</sup> است که ثبت پتانسیل عمل از آن ناحیه گره سینوسی - دهلیزی انجام گرفته است. این موضوع در اینجا نیز مورد تایید قرار گرفت بطوریکه OS، APA، TOP، MDP و حداکثر سرعت بالاروندگی در ناحیه مرکزی در مقایسه با ناحیه بینابینی و محیطی کمتر بود. در مقابل در ناحیه مرکزی در مقایسه با ناحیه بینابینی و محیطی APD طولانی تر و شیب پیس میکری تندتر بود. اخیرا یافته های مذکور توسط یک مدل ریاضی نیز توضیح داده شده است (۲۶).

**ب: نقش احتمالی جریان یونی  $I_f$  بر سلولهای نواحی مختلف گره سینوسی - دهلیزی**

این موضوع پذیرفته شده است که جریان یونی  $I_f$  (hyperpolarization activated current) در فعالیت پیس میکری ایفای نقش می کند، اما همانطور که در مقدمه مقاله هم اشاره شد توافق کلی در خصوص میزان نقش جریان مذکور وجود ندارد. به نظر می رسد که در سلولهای پورکنز جریان یونی  $I_f$  مسئول ایجاد فعالیت پیس میکری می باشد اما در سال ۱۹۹۵ Vassalle و همکاران (۲۷) پیشنهاد کردند که پتانسیل پیس میکری توسط یک جریان دپولاریزه کننده دیاستولی جدید  $K^+$  ( که بطور خلاصه  $I_{kdd}$  خوانده می شود) و با همراهی جریان یونی  $I_f$  رخ می دهد. در گره دهلیزی - بطنی جریان مورد بحث ممکن است در سلولهای N میانی گره موجود بوده (۲۸) اما در سلولهای AN غایب باشد (۲۹). در حالیکه بعضی از محققین بر نقش بالای جریان یونی  $I_f$  در تولید پتانسیل پیس میکری در گره سینوسی - دهلیزی پافشاری می ورزند (۵) عده دیگری از محققین پیشنهاد می کنند که جریان مذکور نقش کم اهمیت تری دارد (۳،۵) و خلاصه اینکه Kreithner (۲۴) پیشنهاد کرد که ممکن است نقش جریان یونی  $I_f$  در نواحی مختلف گره سینوسی - دهلیزی متفاوت باشد. در بررسی حاضر این

موضوع با دادن ۲ میلی مولار سزیم که به عنوان ماده مؤثر برای مسدود کردن جریان یونی  $I_f$  شناخته شده است در نمونه هایی از گره سینوسی - دهلیزی سالم و دست نخورده قلب خرگوش مورد بررسی قرار گرفت. براساس نتایج به دست آمده نقش احتمالی وابسته به ناحیه ای جریان یونی  $I_f$  در فعالیت پیس میکری در گره سینوسی - دهلیزی سالم و دست نخورده قلب خرگوش مورد تایید قرار گرفت، چرا که از درصدهای متفاوت کاهش شیب پیس میکری پتانسیل عمل بر اثر استفاده از ۲ میلی مولار سزیم به خوبی می توان به نقش متفاوت جریان یونی  $I_f$  در نواحی محیطی، بینابینی و مرکزی گره سینوسی - دهلیزی سالم و دست نخورده پی برد. نقش احتمالی وابسته به ناحیه ای جریان یونی  $I_f$  در سلولهای نواحی مختلف گره سینوسی - دهلیزی در یک مدل و طرح ریاضی بررسی و توضیح داده شده است (۲۶).

با توجه به تحقیقات گسترده ای که اخیرا در خصوص ساختمان کانال یونی جریان  $I_f$  در سلولهای مختلف انجام گرفته، تاکنون چهار نوع ساختمان برای کانال یونی جریان مورد بحث تشخیص داده شده است (۳۴-۳۰). این احتمال نیز می تواند مطرح باشد که تفاوت ناحیه ای در جریان مذکور مرتبط با تفاوت در ساختمان کانال یونی باشد.

**ج: بررسی اثر سزیم بر شیب پیس میکری و عدم اثر سزیم بر سایر مختصات پتانسیل عمل در نواحی مختلف گره سینوسی - دهلیزی**

۱- اثر بر شیب پیس میکری: بر اساس گزارشات علمی سزیم یک مسدود کننده انتخابی برای جریان یونی  $I_f$  محسوب می شود. این ماده در سلولهای گره سینوسی - دهلیزی قلب خرگوش در محدوده پتانسیلهای پیس میکری اغلب بطور کامل جریان یونی  $I_f$  را بلسوک نموده و این در حالی است که بر جریان یونی طولانی مدت کلسیمی یا  $L$ -type  $Ca^{+2}$  Current و همین طور بر جریان یونی  $K^+$  تصحیح کننده تاخیری یا Delayed Rectifier  $K^+$  Current که هر کدام به نوعی نامزد ایجاد شیب پیس میکری می باشند، اثری ندارد (۴،۵).

۲- عدم تاثیر بر MUV و APD: این فقدان تاثیر پیشنهاد می کند که ۲ میلی مولار سزیم بر جریان یونی کلسیمی

<sup>12</sup> original dependent

سینوسی- دهلیزی سالم و دست نخورده قبل، هنگام و بعد از استفاده از ۲ میلی مولار سزیم است. کاهش مقدار فعالیت خودبخودی به مقدار  $1 \pm 12\%$  درصد نقش احتمالی جریان یونی  $I_f$  را در فعالیت پیس میکری سلولهای ناحیه مرکزی گره سینوسی- دهلیزی سالم و دست نخورده نشان می دهد. سلولهای مورد بحث در گره سینوسی- دهلیزی، سلولهای پیس میکری رهبری کننده یا اصلی محسوب می شوند. درصد کاهش مذکور مشابه همان  $2 \pm 14\%$  درصد کاهشی است که بر اثر ۲ میلی مولار سزیم در گره سینوسی- دهلیزی سالم و دست نخورده قبل از جدا کردن ماهیچه دهلیزی از آن ایجاد شده بود و قبلا توسط ما و دیگران گزارش گردیده است (۱۴-۱۰). از طرف دیگر در گره سینوسی - دهلیزی سالم و دست نخورده بعد از جدا کردن ماهیچه دهلیزی از آن خاصیت پیس میکری از ناحیه مرکزی به ناحیه محیطی گره سینوسی - دهلیزی انتقال پیدا می نماید که در آن صورت مقدار فعالیت خودبخودی باز هم انعکاسی از جریان یونی  $I_f$  موجود در ناحیه محیطی گره سینوسی- دهلیزی می باشد (۱۳، ۱۲).

( $I_{Ca}$ ) که مسئول سرعت بالاروندگی در ناحیه مرکزی گره سینوسی- دهلیزی و همینطور بر جریان یونی سریع سدیمی ( $I_{Na}$ ) که مسئول سرعت بالاروندگی در ناحیه محیطی گره سینوسی- دهلیزی می باشند، تاثیری نداشته است. عدم تاثیر بر APD پیشنهاد می کند که سزیم بر جریانهای یونی مسئول ایجاد کفه پتانسیل عمل یعنی  $I_K$  و  $I_{Ca}$  و سایر جریانهای یونی اثری ندارد. (۳۷-۳۵، ۷)

۳- عدم تاثیر بر OS و MDP: سزیم در بررسی کنونی (استفاده از گره سینوسی- دهلیزی سالم و دست نخورده) تغییر معنی داری بر عوامل گفته شده نشان نداده است و این در حالی است که Sohn و Vassalle گزارش کرده اند که ۲ میلی مولار سزیم موجب دیپولاریزه شدن غشای سلولی به بزرگی حدود ۲ میلی ولت در ناحیه محیطی سلولهای گره سینوسی- دهلیزی قلب خوکچه گردیده است که چندان قابل توجه نمی باشد (۳۸). با این حال علت عدم تاثیر به اثر جریان هیپرپولاریزه کننده القاء شده از ماهیچه دهلیزی به ناحیه محیطی گره مربوط باشد (۱۳، ۱۲).

۵: اثر سزیم بر میزان فعالیتهای خود بخودی پتانسیل عمل مقدار فعالیت خودبخودی پتانسیل عمل (rate) انعکاسی از فعالیت پیس میکری سلولهای ناحیه مرکزی گره

## REFERENCES

1. BoSmith RE, Briggs I, Sturgess NC. Inhibitory actions of ZENECA ZD7288 on whole-cell hyperpolarization activated inward current ( $I_f$ ) in guinea-pig dissociated sinoatrial node cells. *Br J Pharmacol* 1993; 110: 343-9.
2. Boyett MR, Holden AV, Zhang H, Kodama I, Suzuki R. Atrial modulation of sinoatrial pacemaker rate. *Chaos, Solitons & Fractals* 1995; 5: 425-38.
3. Boyett MR, Kodama I, Honjo H, Arai A, Suzuki R, Toyama J. Ionic basis of the chronotropic effect of acetylcholine on the rabbit sinoatrial node. *Cardiovasc Res* 1995; 29(6): 867-78.
4. DiFrancesco D. Some properties of the UL-FS49 block of the hyperpolarization-activated current ( $i_f$ ) in sinoatrial node myocytes. *Pflug Arch* 1994; 427: 64-70.
5. DiFrancesco D. The onset and autonomic regulation of cardiac pacemaker activity: relevance of the  $f$  current. *Cardiovasc Res* 1995; 29: 449-56.

۶- نیکمرام محمدرضا، بویت مارک ریچارد. تفاوتهای ناحیه ای در شکل و مختصات پتانسیل عمل گره سینوسی- دهلیزی قلب خرگوش. *مجله پزشکی کوثر*؛ ۱۳۸۲، پاییز.

7. Nikmaram MR, Boyett MR, Kodama I, Suzuki R. Regional differences in the role of the hyperpolarization-activated current  $I_f$  in the pacemaker potential in the isolated sinoatrial node of the rabbit. *J Physiol* 1995; 487: 126-7.
8. Nikmaram MR, Boyett MR, Kodama I, Suzuki R. Variation in the effects of  $Cs^+$ , UL-FS49 and ZD7288 within the sinoatrial node. *Am J Physiol* 1997; 272: H2782-92.
9. Mackaay AJC, Op't Hof T, Bleeker WK, Jongasma HJ, Bouman LN. Interaction of adrenaline and acetylcholine on cardiac pacemaker function. Functional in homogeneity of the rabbit sinus node. *J Pharm Exp Therap* 1980; 214: 417-22.
10. Kodama I, Boyett MR. Regional differences in the electrical activity of the rabbit sinus node. *Pflug Arch*. 1985; 404: 214-26.
11. Op't Hof T, de Jonge B, Jongasma HJ, Bouman LN. Functional morphology of the mammalian sinoatrial node. *Euro Heart J* 1987; 8: 1249-59.
۱۲. نیکمرام محمدرضا، بویت مارک ریچارد. بررسی اثر مسدود کردن جریان یونی  $I_f$  با ۲ میلی مولار سزیم بر میزان فعالیت خودبخودی و طول دوره پتانسیل عمل گره سینوسی-دهلیزی در قبل و بعد از جدا کردن ماهیچه دهلیزی از گره سینوسی-دهلیزی قلب خرگوش. *مجله علوم پزشکی کرمان (تحت بررسی)*.
13. Kirchhof CHJ, Bonke FIM, Allesie MA, Lammers WJEP. The influence of atrial myocardium on impulse formation in the rabbit sinus node. *Pflug Arch* 1987; 410: 198-203.
14. Watanabe EI, Honjo H, Anno T, Boyett MR, Kodama I, Toyama J. Modulation of the pacemaker activity of sinoatrial node cells by electrical load imposed by an atrial cell model. *Am J Physiol* 1995; 269: H1735-42.
15. Pape HC. Queer current and pacemaker: the hyperpolarization-activated cation current in neurons. *Annu Rev Physiol*. 1996; 58: 299-327.
16. Grafe P, Quasthoff S, Grosskreutz J, Alzheimer C. Function of the hyperpolarization-activated inward rectification in nonmyelinated peripheral rat and human axons. *J Neurophysiol* 1997; 77: 421-6.
17. Maruoka F, Nakashima Y, Takano M, Ono K, Noma A. Cation-dependent gating of the hyperpolarization-activated cation current in the rabbit sinoatrial node cells. *J Physiol* 1994; 477: 423-35.
18. Liu W, Zou AR, Demir SS, Clark JW, Nathan RD. Characterization of a hyperpolarization-activated inward current in cultured pacemaker cells from the sinoatrial node. *J Mol Cell Cardiol* 1996; 28: 2523-35.
19. Yu H, Chang F, Cohen IS. Pacemaker current  $i_f$  in adult canine cardiac ventricular myocytes. *J Physiol* 1995; 485: 469-83.
20. Fares N, Bois P, Lenfant J, Potreau D. Characterization of a hyperpolarization-activated current in dedifferentiated adult rat ventricular cells in primary culture. *J Physiol* 1998; 506: 73-82.
21. Yagi J, Sumino R. Inhibition of a hyperpolarization-activated current by clonidine in rat dorsal root ganglion neurons. *J Neurophysiol* 1998; 80: 1094-104.
22. DiFrancesco D, Zaza A. The cardiac pacemaker current  $i_f$ . *J Cardiovasc Electrophysiol*. 1992; 3: 334-44.
23. DiFrancesco D. The contribution of the pacemaker current ( $I_f$ ) to generation of spontaneous activity in rabbit sinoatrial node myocytes. *J Physiol* 1991; 434: 23-40.
24. Kreitner D. Electrophysiological study of the two main pacemaker mechanisms in the rabbit sinus node. *Cardiovasc Res* 1985; 19: 304-18.
25. Kodama I, Boyett MR, Suzuki R. Regional differences in the response of the isolated sinoatrial node of the rabbit to vagal stimulation. *J Physiol* 1996; 495: 785-801.
26. Zhang H, Holden AV, Kodama I, Honjo H, Lei M, Varghese T, Boyett MR. Mathematical model of action potentials in the periphery and center of the rabbit sinoatrial node. *Am J Physiol* 2000; 196: H397-421.



27. Vasselle M, Yu H, Cohen IS. The pacemaker current in cardiac Purkinje myocytes. *J Gen Physiol* 1995; 106: 559-78.
28. Munk AA, Adjemian RA, Zhao J, Ogbaghebiel A, Shrier A. Electrophysiological properties of morphologically distinct cells isolated from the rabbit atrioventricular node. *J Physiol* 1996; 493: 801-18.
29. Hancox J, Levi A. The hyperpolarisation-activated current,  $i_f$  is not required for pace making in single cells from the rabbit atrioventricular node. *Pflug Arch*. 1994; 427: 121-8.
30. Ishii T, Takano M, Xie L, Noma A, Ohmori H. Molecular characterization of the hyperpolarization-activated cation channel in rabbit heart sinoatrial node. *J Biol Chem* 1999; 274: 12835-39.
31. Santoro B, Tibbs G. The HCN gene family: molecular basis of the hyperpolarization -activated pacemaker channels. *Ann NY Acad Sci* 1999; 868: 741-64.
32. Bucchi A, Baruscotti M, DiFrancesco D. Current-dependent block of rabbit sinoatrial node  $i_f$  channels by Ivabradine. *J Gen Physiol* 2002; 120: 1-13.
33. Kaupp UB, Seifert R. Molecular diversity of pacemaker ion channels. *Annu Rev Physiol*. 2001; 63: 235-57.
34. Moosmang S, Stieber J, Zong X, Biel M, Hofmann F, Ludwig A. Cellular expression and functional characterization of four hyperpolarization-activated pacemaker channels in cardiac and neuronal tissues. *Eur J Biochem* 2001; 268: 1646-52.
35. Kodama I, Nikmaram MR, Boyett MR, Suzuki R, Honjo H, Owen JM. Regional differences in the role of the  $Ca^{v2}$  and  $Na^+$  currents in pacemaker activity in the sinoatrial node. *Am J Physiol* 1997; 272: H2793-806.
36. Lipsius SL, Vasselle M. Dual excitatory channel in the sinus node. *J Mol Cell Cardiol* 1978; 10: 753-67.
37. Nikmaram MR, Kodama I, Boyett MR, Suzuki R, Honjo H. The  $Na^+$  current plays an important role in pacemaker activity in the periphery, but not the centre of the rabbit sinoatrial node. *J Physiol*. 1996; 491: 154.
38. Sohn HG, Vassalle M. Cesium effects on dual pacemaker mechanisms in guinea pig sinoatrial node. *J Mol Cell Cardiol* 1995; 27: 563-77.